

ДОСЛІДЖЕННЯ ХВИЛЬОВИХ ПОЛІВ, ДИФРАГОВАНИХ ТОНКИМИ ПРУЖНИМИ ВКЛЮЧЕННЯМИ, ПРИ ПЛОСКІЙ ДЕФОРМАЦІЇ

О.В. ЛИТВИН, ас., В.Г. ПОПОВ, д.ф.-м.н., проф.,
Одеська національна морська академія

ВСТУП

Вдосконалення засобів неруйнівного контролю та дефектоскопії вимагає вивчення контактної взаємодії тонких пружних тіл з оточуючим середовищем. Актуальною, з точки зору багатьох застосувань, є проблема дистанційного визначення геометричних та механічних параметрів тонкостінних неоднорідностей, зокрема включень, в ізотропному пружному середовищі за допомогою розсіяних хвильових полів. Оскільки інформація про властивості включення міститься в характеристиках розсіяних полів, то важливе значення мають алгоритми розв'язання задач з їх дослідження. В роботі досліджуються поля переміщень та напружень за допомогою так званих повних поперечних перерізів розсіювання (ПППР).

ПОСТАНОВКА ЗАДАЧІ

Нехай необмежене пружне середовище (матриця), що знаходиться в умовах плоскої деформації, містить пружне включення у вигляді пластини товщини h . У площині xOy включення займає область $|x| \leq a, -h/2 \leq y \leq h/2$. На нього падають плоскі гармонічні поздовжні хвилі або хвилі поперечного зсуву, задані своїми потенціалами [1]

$$\phi_0(x; y) = Ae_1(x; y)\kappa_1^{-1}, \quad \psi_0(x; y) = Ae_2(x; y)\kappa_2^{-1}, \quad (1)$$

де $\kappa_j^2 = \frac{\omega^2}{c_j^2}$, $e_j(x; y) = \exp \kappa_j i(x \cos \theta_0 + y \sin \theta_0)$ ($j = 1, 2$), $c_1^2 = \frac{\lambda_1 + 2\mu_1}{\rho_1}$, $c_2^2 = \frac{\mu_1}{\rho_1}$, $\lambda_1, \mu_1,$

ρ_1 – сталі Ламе та густина середовища, ω – частота коливань, θ_0 – кут між додатним напрямком вісі Ox та напрямком розповсюдження хвиль. Всі співвідношення, як і наступні, записані для амплітудних значень. Залежність від часу визначається множителем $e^{-i\omega t}$, який тут і далі опускається.

При формулюванні умов взаємодії включення з матрицею будемо вважати включення настільки тонким, що граничні умови на його сторонах можна сформулювати відносно його серединної площини. Нехай обидві сторони включення повністю зчеплені з матрицею. Тоді на його серединній площині терплять розрив напруження, стрибки яких позначені:

$$\sigma_y^1(x, +0) - \sigma_y^1(x, -0) = \chi_1(x), \quad \tau_{xy}^1(x; +0) - \tau_{xy}^1(x; -0) = \chi_2(x), \quad -a \leq x \leq a. \quad (2)$$

Крім того, з умов повного зчеплення випливають рівності:

$$v^1(x, \pm 0) = v_0(x) - v^0(x, 0), \quad u^1(x; \pm 0) = u_0(x) - u^0(x, 0) - \frac{h}{2} \frac{dv_0}{dx}, \quad -a \leq x \leq a, \quad (3)$$

де τ_{xy}^1, σ_y^1 – дотичні та нормальні напруження відбитих хвиль, $u_0(x), v_0(x)$ – амплітуди відповідно зсувних вздовж вісі Ox та згинальних коливань серединної площини включення.

Якщо на обох сторонах включення виконуються умови гладкого контакту з матрицею, тоді на включенні терплять розрив напруження σ_y та переміщення u , стрибки яких

позначені

$$\begin{aligned}\sigma_y^1(x; +0) - \sigma_y^1(x; -0) &= \chi_1(x), \\ u^1(x; +0) - u^1(x; -0) &= \chi_4(x), \quad -a \leq x \leq a, \quad \chi_4(\pm a) = 0.\end{aligned}\quad (4)$$

Також з умови гладкого контакту випливає:

$$v^1(x, \pm 0) = v_0(x) - v^0(x, 0), \quad -a \leq x \leq a, \quad \tau_{xy}^1(x; \pm 0) = -\tau_{xy}^0(x, 0). \quad (5)$$

При формулюванні граничних умов (2) – (5) було виконано подання переміщень та напружень в матриці у вигляді

$$v = v^1 + v^0, \quad u = u^1 + u^0, \quad \sigma_x = \sigma_x^1 + \sigma_x^0, \quad \tau_{xy} = \tau_{xy}^1 + \tau_{xy}^0, \quad \sigma_y = \sigma_y^1 + \sigma_y^0. \quad (6)$$

Перші доданки в (6) пов'язанні з розсіяними від включення хвилями, другі – з хвилями, що падають на включення.

Переміщення серединної площини включення визначаються з відповідних рівнянь теорії пружних пластин [2], які за плоскої деформації мають вигляд:

$$u_0''(x) + k_{02}^2 u_0(x) = -\chi_2(x)/D_{02}h, \quad k_{02}^2 = \omega^2 \rho_0/D_{02}, \quad D_{02} = E_0/(1 - \nu_0^2), \quad -a < x < a, \quad (7)$$

$$v_0^{IV}(x) - k_{01}^2 v_0(x) = -\chi_1(x)/D_{01}, \quad k_{01}^2 = \rho_0 \omega^2 h/D_{01}, \quad D_{01} = E_0 h^3/12(1 - \nu_0^2), \quad -a < x < a, \quad (8)$$

де ρ_0 , E_0 , ν_0 – відповідно густина, модуль Юнга та коефіцієнт Пуассона включення.

Вважатимемо вплив середовища на бічні кромки включення $x = \pm a$ нехтувало малим, внаслідок чого на них виконані умови вільного краю:

$$N(\pm a) = -D_{02} \frac{\partial u_0}{\partial x}(\pm a) = 0, \quad M^\pm(\pm a) = -D_{01} \frac{\partial^2 v_0}{\partial x^2}(\pm a) = 0, \quad Q^\pm(\pm a) = -D_{01} \frac{\partial^3 v_0}{\partial x^3}(\pm a) = 0. \quad (9)$$

В останніх рівностях N , Q – нормальні і поперечні сили, M – згинальний момент на кромках включення.

РОЗВ'ЯЗАННЯ ЗАДАЧІ

Оскільки переміщення, викликані хвилею, відбитою від включення, мають розриви на серединній площині включення, то їх доцільно подати у вигляді розривного розв'язку рівнянь Ламе [3]:

$$\begin{aligned}u^1(x, y) &= \int_{-a}^a \chi_1(\eta) G_{41}(\eta - x, y) d\eta + \int_{-a}^a \chi_2(\eta) G_{42}(\eta - x, y) d\eta - \int_{-a}^a \chi_4'(\eta) \frac{\partial}{\partial \eta} G_{44}^*(\eta - x, y) d\eta, \\ v^1(x, y) &= \int_{-a}^a \chi_1(\eta) G_{31}(\eta - x, y) d\eta + \int_{-a}^a \chi_2(\eta) G_{32}(\eta - x, y) d\eta - \int_{-a}^a \chi_4'(\eta) \frac{\partial}{\partial \eta} G_{34}^*(\eta - x, y) d\eta, \\ \sigma_y^1(x, y) &= \int_{-a}^a \chi_1(\eta) G_{11}(\eta - x, y) d\eta + \int_{-a}^a \chi_2(\eta) G_{12}(\eta - x, y) d\eta - \int_{-a}^a \chi_4'(\eta) \frac{\partial}{\partial \eta} G_{14}^*(\eta - x, y) d\eta, \\ \tau_{xy}^1(x, y) &= \int_{-a}^a \chi_1(\eta) G_{21}(\eta - x, y) d\eta + \int_{-a}^a \chi_2(\eta) G_{22}(\eta - x, y) d\eta - \int_{-a}^a \chi_4'(\eta) \frac{\partial}{\partial \eta} G_{24}^*(\eta - x, y) d\eta, \\ \sigma_x^1(x, y) &= \int_{-a}^a \chi_1(\eta) \frac{\partial}{\partial y} \left[\frac{\kappa_1^2}{\xi^2} r_1 + 2 \frac{\partial^2 r_1}{\partial y^2} + 2 \frac{\partial^2 r_1}{\partial x^2} \right] d\eta + \int_{-a}^a \chi_2(\eta) \frac{\partial}{\partial x} \left[\frac{\kappa_1^2}{\xi^2} r_1 + 2 \frac{\partial^2 r_1}{\partial y^2} - 2 \frac{\partial^2 r_1}{\partial y^2} \right] d\eta + \\ &+ 2\mu \int_{-a}^a \frac{\chi_4'(\eta)}{\kappa_2^2} \frac{\partial}{\partial y} \left[\frac{\kappa_1^2}{\xi^2} r_1 + 2 \frac{\partial^2 r_1}{\partial y^2} + \left(\kappa_2^2 + 2 \frac{\partial^2}{\partial x^2} \right) r_2 \right] d\eta, \quad \frac{\partial G_{i4}^*(\eta - x, y)}{\partial \eta} = G_{i4}(\eta - x, y), \quad i = 1, 4\end{aligned}\quad (10)$$

У випадку відшарованого включення в поданнях для переміщень та напружень

слід покласти $\chi_2(x) \equiv 0$, для повністю зчепленого включення – $\chi_4(x) \equiv 0$. Ядра інтегральних операторів визначені у [3].

Розв’язки одновимірних крайових задач (7), (8), (9) задаються формулами:

$$u(\zeta) = -\frac{m_0}{2\varepsilon} \int_{-1}^1 \phi_2(\tau) G_2(\tau, \zeta) d\tau, \quad v(\zeta) = -\gamma_0 \int_{-1}^1 \phi_1(\tau) G(\tau, \zeta) d\tau, \quad (11)$$

$$\phi_1(\zeta) = \chi_1(a\zeta)/\mu_1, \quad \phi_2(\zeta) = \chi_2(a\zeta)/a, \quad \phi_4'(\zeta) = \chi_4'(a\zeta) \zeta = a^{-1}x,$$

$$m_0 = \varepsilon_0 \mu_0, \quad \gamma_0 = 3m_0/2\varepsilon^3, \quad \varepsilon = h/2a, \quad \kappa_0 = a\kappa_2, \quad \mu_0 = (1 - \nu_0^2)/2(1 + \nu_1); \quad \varepsilon_0 = E_1/E_0,$$

$$\rho = \rho_1/\rho_0.$$

Тут $G_1(\tau, \zeta)$, $G_2(\tau, \zeta)$ – функції Гріна відповідних крайових задач [4], [5].

Для визначення стрибків, що входять в (10), (11) з граничних умов отримана система інтегральних рівнянь. Отримання цієї системи докладно виведено у [4], [5]. Означена система інтегральних рівнянь для повністю зчепленого включення має вигляд:

$$\begin{aligned} & \frac{1}{2\pi} \int_{-1}^1 \phi_1(\tau) \left\{ \frac{1+\xi^2}{2} \ln|\tau-\zeta| + F_1(\tau-\zeta) + 2\pi\gamma_0 G_1(\tau, \zeta) \right\} d\tau = f_1(\zeta), \\ & \frac{1}{2\pi} \int_{-1}^1 \phi_1(\tau) \left\{ -2\pi\gamma_0 \frac{\partial}{\partial \zeta} G_1(\tau, \zeta) \right\} d\tau + \\ & + \frac{1}{2\pi} \int_{-1}^1 \phi_2(\tau) \left\{ \frac{1+\xi^2}{2} \ln|\tau-\zeta| + F_2(\tau-\zeta) + \frac{\pi m_0}{\varepsilon} G_2(\tau, \zeta) \right\} d\tau = f_2(\zeta), \quad (12) \\ & f_1(\zeta) = -i[\alpha \sin \theta_0 \exp(i\kappa_0 \xi \zeta \cos \theta_0) - \beta \cos \theta_0 \exp(i\kappa_0 \zeta \cos \theta_0)], \\ & f_2(\zeta) = -i[\alpha \cos \theta_0 \exp(i\kappa_0 \xi \zeta \cos \theta_0) + \beta \sin \theta_0 \exp(i\kappa_0 \zeta \cos \theta_0)]. \end{aligned}$$

Функції $F_1(\tau-\zeta)$, $F_2(\tau-\zeta)$ неперервні при $-1 \leq \tau, \zeta \leq 1$. Формули для них не наводяться з огляду на їх надзвичайно великий об’єм.

Якщо включення відшароване з обох сторін, тоді система рівнянь має вигляд:

$$\begin{aligned} & \frac{1}{2\pi} \int_{-1}^1 \phi_1(\tau) \left\{ \frac{1+\xi^2}{2} \ln|\tau-\zeta| + \Gamma_{21}(\tau-\zeta) + \gamma_0 G_1(\tau, \zeta) \right\} d\tau + \\ & + \frac{1}{2\pi} \int_{-1}^1 \phi_4'(\tau) \left\{ \xi^2 \ln|\tau-\zeta| + \Gamma_{22}(\tau-\zeta) \right\} d\tau = f_1(\zeta), \\ & \frac{1}{2\pi} \int_{-1}^1 \phi_1(\tau) \left\{ -\frac{\xi^2}{\tau-\zeta} + \Gamma_{11}(\tau-\zeta) \right\} d\tau + \frac{1}{2\pi} \int_{-1}^1 \phi_4'(\tau) \left\{ \frac{2(1-\xi^2)}{\tau-\zeta} + \Gamma_{12}(\tau-\zeta) \right\} d\tau = f_2(\zeta), \\ & \frac{1}{2\pi} \int_{-1}^1 \phi_4'(\tau) d\tau = 0. \quad (13) \end{aligned}$$

Для побудови наближеного розв’язку системи інтегральних рівнянь (12) та (13) невідомі функції представлені у вигляді [6]:

$$\phi_1(\tau) = \frac{\psi_1(\tau)}{\sqrt{1-\tau^2}}, \quad \phi_2(\tau) = \frac{\psi_2(\tau)}{\sqrt{1-\tau^2}}, \quad \phi_4'(\tau) = \frac{\psi_4(\tau)}{\sqrt{1-\tau^2}},$$

$$\psi_j(\tau) = \sum_{m=1}^n \psi_{mj} \frac{T_n(\tau)}{T_n(\tau_m)(\tau - \tau_m)}, \quad j = 1; 2; 4 \quad j = 1; 2; 4, \quad (14)$$

де $T_n(\tau)$ - многочлен Чебишева 2-го роду, $\psi_{mj} = \psi_j(\tau_m)$, $\tau_m = \cos \frac{\pi(2m-1)}{2n}$, $m = \overline{1, n}$ - корені цього поліному.

Для отримання наближеного розв'язку інтегральні рівняння заміняться системою лінійних алгебраїчних рівнянь відносно невідомих значень функцій у вузлах інтерполяції [4], [5].

Повний поперечний переріз розсіювання $Q_k(\omega)$ за означенням [7], [8] є відношенням усередненої швидкості поширення енергії розсіяної хвилі $\langle Q_k^1 \rangle_t$ через циліндричну поверхню одиничної висоти, що містить включення, до середньої за періодом кількості енергії падаючої хвилі $\langle I^0 \rangle_t$, що проходить через одиничну площадку, перпендикулярну до напрямку розповсюдження падаючої хвилі, тобто

$$Q_k(\omega) = \langle Q_k^1 \rangle_t / \langle I^0 \rangle_t, \quad k = 1; 2. \quad (15)$$

Тут $k = 1$ відповідає випадку розсіювання від включення поздовжньої хвилі, а $k = 2$ - поперечної хвилі.

Оскільки розсіяне хвильове поле визначається суперпозицією поздовжніх і поперечних хвиль, то переміщення та напруження, які викликані цими хвилями, необхідно записати у вигляді:

$$v^1 = v^{11} + v^{12}, \quad u^1 = u^{11} + u^{12}, \quad \sigma_x^1 = \sigma_x^{11} + \sigma_x^{12}, \quad \tau_{xy}^1 = \tau_{xy}^{11} + \tau_{xy}^{12}, \quad \sigma_y^1 = \sigma_y^{11} + \sigma_y^{12}. \quad (16)$$

Перші доданки переміщень та напружень пов'язані з розсіянням поздовжньої хвилі, а другі - поперечної хвилі.

Середня за період кількість енергії $\langle I^0 \rangle_t$, що проходить через одиничну площадку, перпендикулярну до напрямку розповсюдження падаючої хвилі в умовах плоскої деформації має вигляд:

$$\langle I^0 \rangle_t = \frac{\omega}{2} \{ n_1 \operatorname{Im}(\sigma_x^0 + \tau_{xy}^0)(\bar{u}^0 + \bar{v}^0) + n_2 \operatorname{Im}(\sigma_y^0 + \tau_{xy}^0)(\bar{u}^0 + \bar{v}^0) \} \quad (17)$$

і залежно від типу хвиль, які розповсюджуються в матриці, дорівнюють:

$$\langle I^0 \rangle_t = 0,5\omega\mu_1 A^2 \kappa_2 (1 + \sin 2\theta_0) \xi^{-1}, \quad \langle I^0 \rangle_t = 0,5\omega\mu_1 A^2 \kappa_2 (1 - \sin 2\theta_0). \quad (18)$$

Перша формула пов'язана з поширенням поздовжньої хвилі, друга - поперечної хвилі.

Після введення циліндричної поверхні, що містить включення і розглядання її частини одиничної довжини, усереднена швидкість поширення енергії розсіяної хвилі через цю поверхню дорівнює:

$$\langle Q_k^1 \rangle_t = \frac{\omega}{2} \int_0^{2\pi} \{ n_1 \operatorname{Im}(\sigma_x^{1k} + \tau_{xy}^{1k})(\bar{u}^{1k} + \bar{v}^{1k}) + n_2 \operatorname{Im}(\sigma_y^{1k} + \tau_{xy}^{1k})(\bar{u}^{1k} + \bar{v}^{1k}) \} d\phi.$$

Далі для визначення $\langle Q_k^1 \rangle_t$ у дальній зоні необхідно ввести полярну систему координат

$x = R \cos \phi$, $y = r \sin \phi$, $R = \sqrt{x^2 + y^2}$ і знайти асимптотичні формули для переміщень та напружень розсіяного поля поздовжніх і поперечних хвиль, коли $R \rightarrow \infty$. Тому

$$\langle Q_k \rangle_t = \frac{\omega \mu_1 a^2 \pi}{16n^2} \int_0^{2\pi} f_k(\phi) d\phi, \quad k=1;2. \quad (19)$$

В останній формулі підінтегральні функції залежать як від типу розсіяної хвилі, так і від умов взаємодії включення з матрицею. Отже, вираз для повного поперечного перерізу розсіювання має вигляд:

$$Q_k(\omega) = \frac{a^2 \eta_k \pi}{8n^2 \kappa_2 A^2 (1 \pm \sin 2\theta_0)} \int_0^{2\pi} f_k(\phi) d\phi, \quad \eta_1 = \xi, \eta_2 = 1.$$

Множник η_1 пов'язаний з поширенням поздовжньої хвилі, η_2 – поперечної хвилі.

АНАЛІЗ РЕЗУЛЬТАТІВ ТА ВИСНОВКИ

За допомогою останніх формул проведені дослідження залежності значень повного поперечного перерізу розсіювання Q_k від безрозмірної частоти κ_0 при різних співвідношеннях між пружними сталими середовища та включення $e_0 = E_1/E_0$. Результати цих досліджень для повністю зчепленого включення показані у вигляді графіків на рис. 1 – 5. На цих рисунках криві 1–5 відповідають наступним значенням e_0 : 0,5; 0,2; 0,1; 0,01; 0,001. Пунктирна крива на всіх рисунках відповідає випадку абсолютно жорсткого включення.

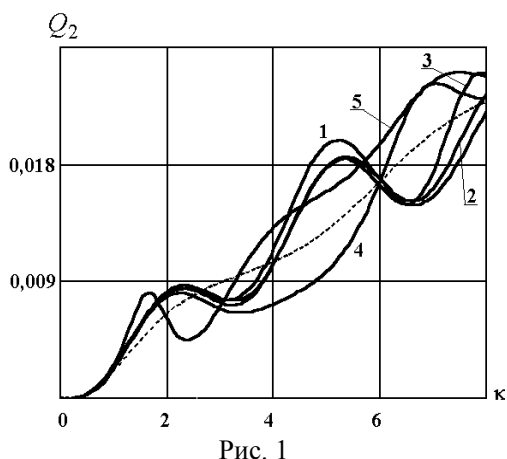


Рис. 1

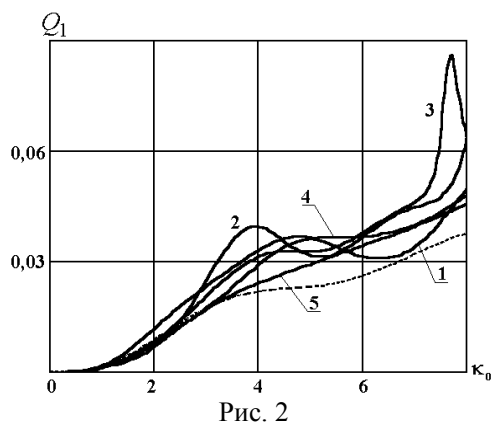


Рис. 2

Якщо на включення набігає хвиля, то від включення розсіюються як поздовжня, так і поперечна хвилі. При поширенні поздовжньої хвилі з $\theta_0 = 90^\circ$ з ростом безрозмірної частоти κ_0 значення поперечних перерізів розсіювання Q_k , $k=1;2$ зростають. Але значення ПППР розсіяної від включення поздовжньої хвилі при різних співвідношеннях e_0 практично не відрізняються один від одного, тому на рис. 1 наведені графіки почастотної залежності ПППР розсіяної від включення поперечної хвилі. Як видно, майже при всіх значеннях e_0 поперечні перерізи мають декілька максимумів і мінімумів. З зростанням κ_0 значення ПППР для абсолютно жорсткого включення монотонно зростають, а для пружних включень графіки залежності для Q_2 мають осцилюючий характер навколо значень для абсолютно жорсткого включення. При $e_0 \rightarrow 0$ значення ПППР прямують до відповідних абсолютно жорсткому включенню значень. Повне співпадіння спостерігається при $e_0 = 10^{-6}$.

Якщо на включення набігає поперечна хвиля з $\theta_0 = 90^\circ$, то ПППР розсіяної поздовж-

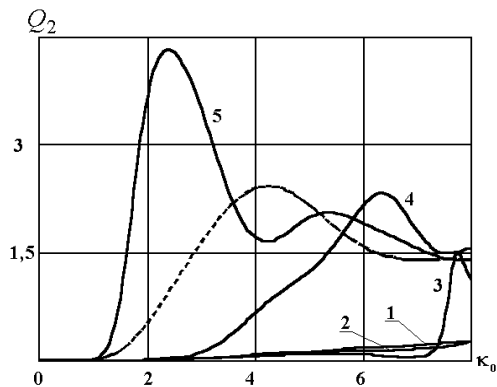


Рис. 3

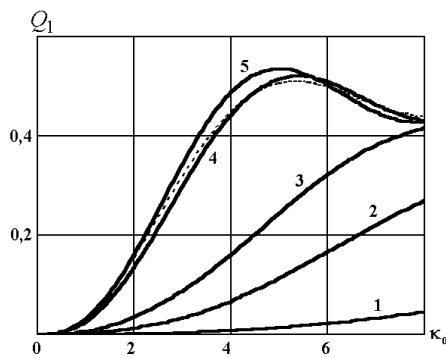


Рис. 4

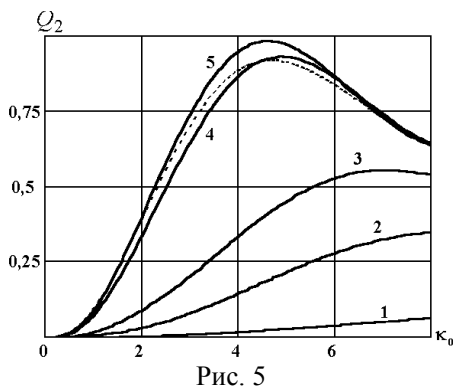


Рис. 5

ньої хвилі Q_1 (рис. 2) також зростають з ростом частоти, але при зростанні e_0 монотонність порушується і з'являються точки максимуму. Крім того, при всіх розглянутих e_0 значення ПППР для пружного включення перевищують відповідні значення для абсолютно жорсткого. Співпадіння значень ПППР для пружного і абсолютно жорсткого включення спостерігається при $e_0 = 10^{-6}$.

На рис. 3 показана поведінка ПППР розсіяної поперечної хвилі у випадку, коли на включення набігає поперечна хвиля з $\theta_0 = 0^\circ$. Для включень з жорсткістю значно більшою жорсткості матриці ПППР спочатку досягають деякого максимального значення, а потім при зростанні частоти значення Q_2 спадають. ПППР для розсіяної поздовжньої хвилі мають не тільки суттєво менші значення, але й більш складний характер залежності від частоти. Якщо ж на включення набігає поздовжня хвиля з $\theta_0 = 0^\circ$, то для ПППР розсіяної від включення поздовжньої хвилі (рис. 4) і ПППР розсіяної поперечної хвилі (рис. 5) спостерігається з ростом κ_0 зростання значень до досягнення максимального значення з наступним повільним спаданням значень, особливо, коли жорсткість включення значно перевищує жорсткість матриці. З ростом жорсткості включення зростають значення поперечних перерізів, прямуючи до відповідних значень для абсолютно жорсткого включення. Співпадіння значень ПППР для пружного і абсолютно жорсткого включень відбувається при $e_0 = 10^{-6}$. Слід відмітити, що ПППР розсіяної від включення поперечної хвилі Q_2 значно перевищують відповідні значення ПППР розсіяння поздовжньої хвилі Q_1 .

ЛІТЕРАТУРА

1. Гринченко В.Т., Мелешко В.В. Гармонические колебания и волны в упругих телах // К., 1981. – 284 с.
2. Перцев А.К., Платонов Э.Г. Динамика оболочек и пластин // Л., 1987. – 316 с.
3. Попов В.Г., Улановский А.Э. Сравнительный анализ дифракционных полей при

- прохождении упругих волн через дефекты различной природы // Изв. РАН. МТТ. – 1995. – №4. – С.99-109.
4. Литвин О.В., Попов В.Г. Концентрация напряжений вблизи тонкого упругого включения в условиях гладкого контакта // Известия РАН. Мех.тв. тела, 2007.– №1. – С. 123-132.
 5. Литвин О.В., Попов В.Г. Взаємодія плоских пружних гармонічних хвиль з пружним включенням за повного зчеплення // Львів: Фіз.-хім. мех. мат.–2007. – №4.
 6. 6.Белоцерковский С.М., Лифанов И.К. Численные методы в сингулярных интегральных уравнениях // – М.: Наука, 1985. – 253 с.
 7. Канаун С.К., Левин В.М. Метод эффективного поля в механике композитов. – Петрозаводский университет, 1993. – 600 с.
 8. Achenbach J.D., Gautesen A.K., McMaken H. Ray methods for waves in elastic solids. – Pitman, Boston, 1982.